

بومی‌سازی تولید و تخلیص رادیوایزوتوپ آهن-۵۵ برای استفاده در چشممه‌های باز و بسته

پرویز اشتاری^{*}، سید یوسف فضائلی حسینی نژاد، غلامرضا اصلانی

پژوهشکده کاربرد پرتوها، پژوهشگاه علوم و فنون هسته‌ای، سازمان انرژی اتمی، صندوق پستی: ۱۴۱۵۵، ۱۳۳۹-۱۴۰۰، تهران- ایران

*Email: Pashtari@aeoi.org.ir

مقاله‌ی فنی

تاریخ دریافت مقاله: ۹۹/۵/۷ تاریخ پذیرش مقاله: ۹۹/۶/۱۶

چکیده

هدف این تحقیق بررسی امکان تولید آهن-۵۵ به عنوان یک چشممه گسیلنده پرتو ایکس در مصارف علمی و صنعتی می‌باشد. مزیت این روش، حذف مراحل آب‌کاری و احلال منگنز فلزی در تولید هدف و عدم نیاز به مراحل پیچیده خالص‌سازی شیمیایی و رادیوشیمیایی است. محاسبات مربوط به انرژی پروتون مورد استفاده برای بمباران هدف با روش ALICE/ASH انجام شد. نمونه‌ها برای تعیین مقدار آهن-۵۵ تولیدی با روش طیفسنجی پرتو ایکس و گاما مورد ارزیابی قرار گرفتند. منگنز-۵۴ به عنوان ناخالصی عمدی در تولید آهن-۵۵ تولید می‌شود. جداسازی و تخلیص آهن-۵۵ از منگنز با تلفیق روش رسوب‌گیری و استخراج مایع- مایع انجام شد. مقدار منگنز و نیز مقدار تبدیل شده به منگنز-۵۴ قابل توجه است اما نتایج نشان می‌دهد، جداسازی منگنز-۵۴ از آهن-۵۵ به طور کامل انجام شده است. همچنین نتایج نشان داد، تولید رادیوایزوتوپ آهن-۵۵ و خالص‌سازی آن برای مصارف داخل ایران با روش ارایه شده امکان‌پذیر می‌باشد.

کلیدواژه‌های: چشممه باز و بسته، تولید و تخلیص رادیوایزوتوپ آهن-۵۵، ALICE/ASH

Localization of the production and purification of Fe-55-radioisotope for the use in open and closed sources

P. Ashtari*, Y. Fazaeli, Gh. Aslani

Radiation Application Research School, Nuclear Science and Technology Research Institute, AEOI, P.O.Box: 1339-14155, Tehran - Iran

Technical Paper

Received 28.7.2020, Accepted 6.9.2020

Abstract

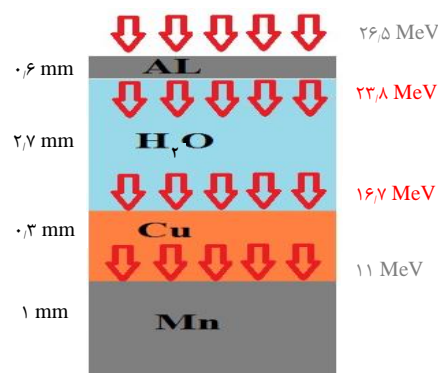
The purpose of this study is to investigate the possibility of producing iron-55 as an X-ray source for the scientific and industrial applications. There are some advantages for this method: the elimination of the manganese electro-plating, dissolving process in the target production step, and the need for the complex stages of chemical and radio-chemical purification. The calculations of proton energy for the target bombardment was performed using the ALICE/ASH method. The samples were evaluated to produce iron-55 determination by X-ray and gamma spectroscopy. Manganese-54 was produced as a major impurity in the production of iron-55. The Separation and purification phase of iron-55 from manganese was carried out by combining of precipitation and liquid-liquid extraction. The amount of manganese and manganese-54 was significant, but the results showed that the separation of manganese from iron-55 has been performed efficiently. Also, results agreed that the production and purification of iron-55 radioisotope for territorial use in Iran is possible with the proposed method.

Keywords: Open and closed sources, Production and purification of Fe-55-radioisotope, ALICE/ASH



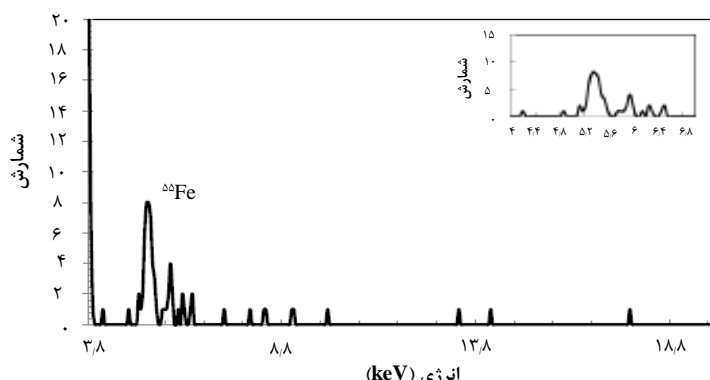
پس از تخلیه محتویات داخل ویال و سپری شدن ۳ روز برای واپاشی و کاهش پرتوzایی عناصر مزاحم تولید شده با نیمه عمر کوتاه، نمونه‌ها با استفاده از طیف سنجی گاما و آشکارساز ژرمانیم فوق خالص و طیف‌سنجدی اشعه ایکس مورد بررسی قرار گرفت.

بررسی نشان داد که منگنز ۵۴-۵ نیز تولید شده است. همچنین مقداری ناخالصی کبالت-۵۷ از منبع ناشناخته (آلودگی احتمالی هات سل‌ها و آشکارساز دستگاه) و روی ۶۵-۶۵ از غلاف مسی در نمونه وجود دارد. اندازه‌گیری آهن-۵۵ با طیف‌سنجدی گاما به دلیل شدت کم گامای کم‌انرژی، در حضور این رادیوایزوتوپ‌ها در نمونه امکان‌پذیر نمی‌باشد. بنابراین عملیات جداسازی شیمیایی و رادیوشیمیایی انجام شد و در نهایت نمونه برای اندازه‌گیری آهن-۵۵ با طیف‌سنجدی اشعه ایکس و طیف‌سنجدی گاما مورد سنجش قرار گرفت. طیف اشعه ایکس و طیف گامای نمونه آهن-۵۵ در شکل‌های ۴ و ۵ آمده است. در شکل ۶ پیگیری مراحل جداسازی ناخالصی‌های غلاف فلزی و هدف (منگنز) با استفاده از طیف‌سنجدی گاما نشان داده شده است.

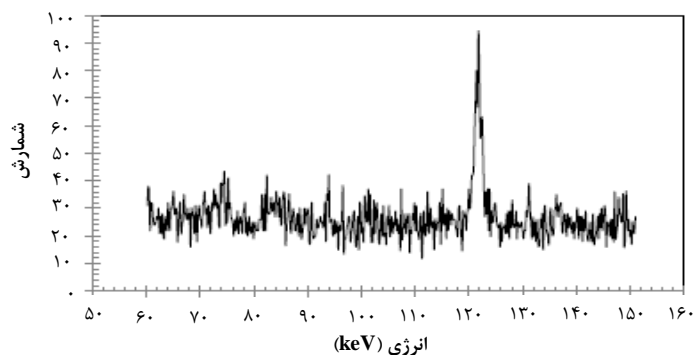


شکل ۳. نتایج کد محاسباتی SRIM برای کاهش انرژی پروتون در شاتل تارسیدن به هدف.

افت انرژی پروتون حین عبور از محیط‌های مختلف (۳ لایه) تا رسیدن به هدف حدود ۱۵.۵ MeV می‌باشد. با لحاظ کردن این افت‌های انرژی، انرژی بهینه ۲۶.۵ MeV برای پروتون خروجی از سیکلوترون به دست آمد. انرژی ورودی پروتون به هدف با خط نارنجی در روی شکل ۲ نشان داده شد.



شکل ۴. نتایج طیف‌سنجدی اشعه ایکس نمونه آهن-۵۵ تولید شده.

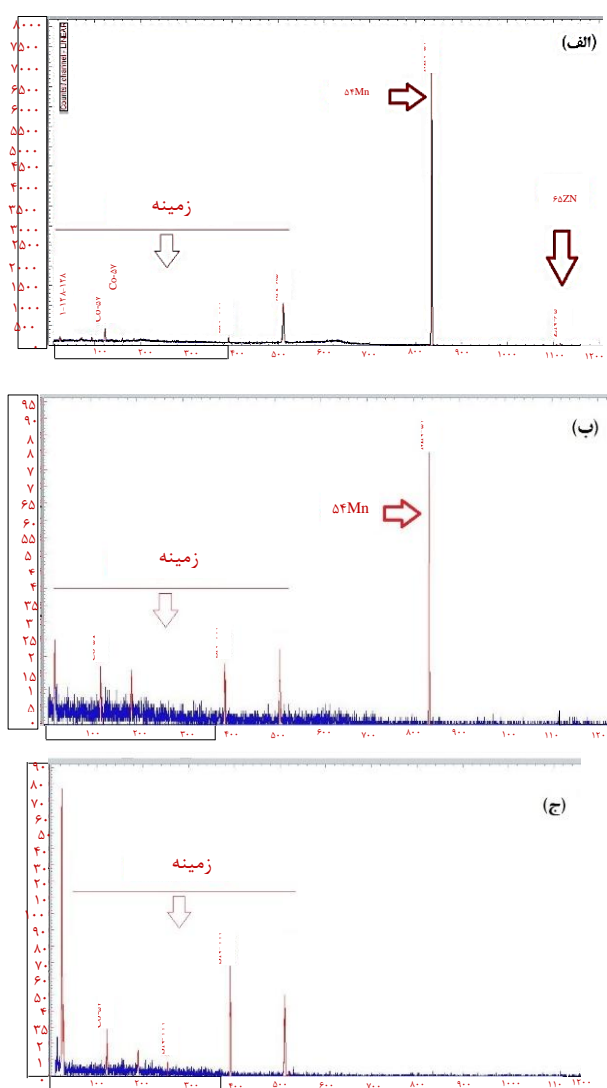


شکل ۵. نتایج طیف‌سنجدی اشعه گاما نمونه آهن-۵۵ تولید شده.



عمل می‌کند و می‌توان با ردیابی آن کارآیی روش جداسازی و تخلیص مورد استفاده را تعیین نمود.

در این روش جداسازی که برای مقادیر نیمه کمی (قابل انجام در مقیاس بزرگتر نیز می‌باشد) انجام شد، قابلیت و توانایی روش رسوب‌گیری با کمک روش استخراج مایع-مایع تکمیل می‌شود. برای این که جداسازی به روش چشمی و معمول قابل پیگیری باشد به آن حامل (Carrier) اضافه شد و جداسازی انجام شد. در این تحقیق حامل مورد استفاده آهن طبیعی است که به صورت نمک سولفات آهن استفاده شد. با توجه به مقدار بسیار زیاد منگنز که مقداری از آن نیز تبدیل به منگنز-۵۴ شده است، آن‌چه از شواهد پس از جداسازی بر می‌آید، جداسازی منگنز-۵۴ از آهن-۵۵ به طور کامل انجام شده است. با مقایسه طیف اشعه ایکس نمونه با چشمی استاندارد بازدهی تولید در حدود $0.25 \mu\text{Ci}/\mu\text{Ah}$ است. این مقدار برابر با 1.67×10^{-5} گرم آهن-۵۵ تولید شده.



شکل ۶. نتایج طیفسنجی اشعه گاما مراحل جداسازی ناخالصی‌ها (الف) نمونه اولیه هدف پرتوهی شده، (ب) حذف ^{65}Zn با جداسازی غلاف، (ج) جداسازی شیمیایی ^{54}Mn .

۳. نتیجه‌گیری

در این مقاله روشی کارآمد برای افزایش سرعت جداسازی و به دنبال آن کاهش زمان جداسازی توسعه داده شده است تا در نهایت روشی ارایه شود که هم‌زمان مزایای تخلیص و جداسازی را دارا باشد. در این روش آهن-۵۵ با استفاده از بمباران منگنز طبیعی و تهییه قرص با روکش مسی تهییه شد. محاسبات مربوط به انرژی و زمان بمباران انجام شد. نمونه‌های تولید شده توسط بمباران پرتوئون در سیکلوترون با انرژی 26.5 MeV نشان از تولید مقادیر قابل توجهی از منگنز-۵۴ و روی-۶۵ داشت. ناخالصی روی-۶۵ حاصل از غلاف مسی است که به راحتی از محصول جدا می‌شود. ناخالصی منگنز-۵۴ به عنوان یک ردیاب

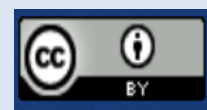


مراجع

1. L.E. Preuss, W.S. Toothacker, C.K. Bugenis, *Demonstration of X-ray diffraction by LiF using the Mn Ka X-rays resulting from 55Fe decay*, *Appl. Phys. Lett.* **9**, 159 (1966), <https://doi.org/10.1063/1.1754691>.
2. L. Marinangeli, et al, *Mars-Xrd Team (March 12–16, 2007). An European XRD/XRF Instrument for the ExoMars Mission. 38th Lunar and Planetary Science Conference. Lunar and Planetary Science Conference* (1338). League City, Texas. 1322. Bibcode (2007).
3. D.J. Dwight, E.A. Lorch, J.E. Lovelock, *Iron-55 as an auger electron emitter: Novel source for gas chromatography detectors*, *J. Chrom. A.* **116**, 257-261 (1976). doi:10.1016/S0021-9673(00)89896-9.
4. C. Augeray, et al, *Development of a protocol to measure iron-55 in solid matrices in the environment*, *J. Environ. Radioactivity*, **141**, 164-173 (2015).
5. Esam M.A. Hussein, *Handbook on radiation probing, gauging, imaging and analysis*. Springer. P. 26. ISBN 978-1-4020-1294-5 (2003).
6. O. Stehling, et al, *Biochemical Analyses of Human Iron-Sulfur Protein Biogenesis and of Related Diseases, Chapter 8, Methods in Enzymology*, Academic Press, **599**, 227-263 (2018).
7. T.N. Van Der Walt, F.W.E. Strelow, F.J. Haasbroek, *Separation of iron-55 from manganese cyclotron target material on a 2% cross-linked anion exchanger in hydrochloric acid*. *Inter. J. Appl. Radiat. Isotopes*, **36**, 159-161 (1985).
8. Y. Fazaeli, et al, *A new approach to targetry and cyclotron production of 45Ti by proton irradiation of 45Sc*, *Nucl. Tech. & Radiat. Protection J.*, **29**, 28-33 (2014).
9. A. Konobeyev, A. Korovin, P.E. Pereslavtsev, *Code ALICE/ASH for Calculation of Excitation Functions, Energy and Angular Distributions of Emitted Particles in Nuclear Reactions*, Institute of Nuclear Power Engineering, Obninsk, Russia, (1997).
10. J.F. Zeigler, J.P. Biersack, U. Littmark, *The Stopping and Range of Ions in Matter, SRIM Code, USA*, (2006).

COPYRIGHTS

©2021 The author(s). This is an open access article distributed under the terms of the Creative Commons Attribution (CC BY 4.0), which permits unrestricted use, distribution, and reproduction in any medium, as long as the original authors and source are cited. No permission is required from the authors or the publishers.



استناد به این مقاله

پرویز اشتری، سید یوسف فضائلی حسینی نژاد، غلامرضا اصلاحی (۱۴۰۰)، بومی‌سازی تولید و تخلیص رادیوایزوتوپ آهن-۵۵ برای استفاده در چشمدهای باز و بسته، ۹۵-۱۱۷، ۱۲۲-۱۱۷.

DOI: [10.24200/nst.2021.1192](https://doi.org/10.24200/nst.2021.1192)

Url: https://jonsat.nstri.ir/article_1192.html

